

## บทที่ 3

### วิธีดำเนินงานวิจัย

ในการวิจัยครั้งนี้ ผู้วิจัยต้องการศึกษาการสร้างแผนกราฟทดลองแบบตินไฮเปอร์คิวบ์ที่เหมาะสม 3 แบบ ได้แก่ แผนกราฟทดลองแบบตินไฮเปอร์คิวบ์อย่างสูม แผนกราฟทดลองแบบตินไฮเปอร์คิวบ์ที่สมมาตรและแผนกราฟทดลองแบบตินไฮเปอร์คิวบ์ที่สร้างจากหลักการແກ้าดับเบิ่งตั้งจากสำหรับการจำลองกราฟทดลองด้วยคอมพิวเตอร์ จากนั้นจึงพิจารณาคุณลักษณะของแผนกราฟทดลองแบบตินไฮเปอร์คิวบ์ที่เหมาะสม 3 แบบจากค่าของเกณฑ์การเลือกค่าเหมาะสมคือ เกณฑ์  $\phi_p$  เกณฑ์แม็กซิมและค่าเฉลี่ยของสหสัมพันธ์ระหว่างส่วนภูมิของแผนกราฟทดลอง หลังจากได้แผนกราฟทดลองแบบตินไฮเปอร์คิวบ์ที่เหมาะสม 3 แบบ โดยพิจารณาคุณลักษณะของแผนกราฟทดลองในแต่ละมิติปัญหาแล้ว ขั้นตอนต่อไปจึงทำการเปรียบเทียบความแม่นยำในการพยากรณ์ของตัวแบบทางสถิติ ได้แก่ RSM และตัวแบบ Kriging ที่สร้างจากแผนกราฟทดลองแบบตินไฮเปอร์คิวบ์ที่เหมาะสม 3 แบบ โดยเกณฑ์ที่ใช้ในการเปรียบเทียบความแม่นยำในการพยากรณ์ของตัวแบบทางสถิติคือ รากที่สองของค่าคลาดเคลื่อนกำลังสองเฉลี่ย ซึ่งขั้นตอนการดำเนินการวิจัยมีดังต่อไปนี้

#### ขั้นตอนการดำเนินการวิจัย

การดำเนินการวิจัย มีขั้นตอนดังต่อไปนี้

##### 1. กำหนดมิติปัญหา ได้แก่ จำนวนจุดทดลอง ( $n$ ) และจำนวนตัวแปรอิสระ ( $d$ )

ดังตาราง 1

2. กำหนดปัญหาทดลองสำหรับสำหรับแต่ละมิติปัญหา ซึ่งปัญหาทดลองที่ใช้ในการศึกษาครั้งนี้มีลักษณะแบบไม่เรียงเส้น มีจำนวนทั้งหมด 9 ปัญหาทดลอง ปัญหาที่มีความซับซ้อนมากคือ ปัญหาทดลอง 2 มิติ และปัญหาทดลอง 5 ถึง 8 มิติ ส่วนปัญหาทดลองในมิติปัญหาอื่นๆ จะเป็นปัญหาทดลองที่ซับซ้อนน้อย รายละเอียดของแต่ละปัญหาทดลองมีดังนี้

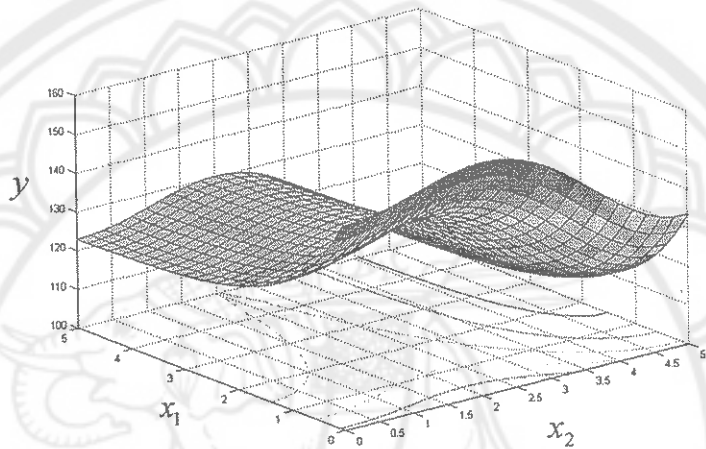
###### 2.1 ปัญหาทดลอง 2 มิติ

ปัญหาทดลอง 2 มิติ ที่นำมาใช้ในการศึกษาครั้งนี้คือ Welch function ซึ่งปัญหาทดลองดังกล่าวมีรูปแบบของสมการ ดังนี้

$$f(x_1, x_2) = [30 + x_1 \sin(x_1)](4 + e^{-x_2}) \quad (30)$$

โดยที่  $0 \leq x_1, x_2 \leq 5$

สำหรับความรับข้อมูลของปัญหาทดสอบดังกล่าว อธิบายได้ดังภาพ 11



ภาพ 11 แสดงภาพ 3 มิติ สำหรับ Welch function

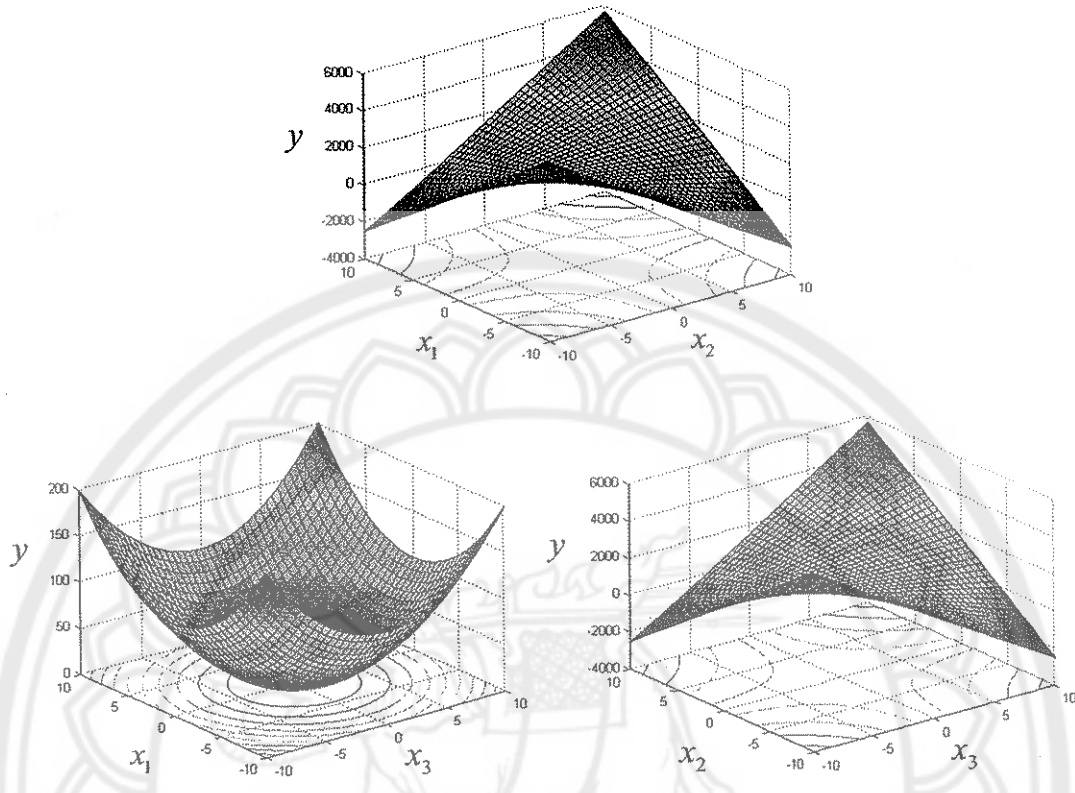
## 2.2 ปัญหาทดสอบ 3 มิติ

ปัญหาทดสอบ 3 มิติ ที่นำมาใช้ในการศึกษาครั้งนี้คือ 3D function ซึ่งปัญหาทดสอบดังกล่าวมีรูปแบบของสมการ ดังนี้

$$f(x_1, x_2, x_3) = (x_1 + x_2)^2 + (x_2 + x_3)^2 \quad (31)$$

โดยที่  $-10 \leq x_1, x_2, x_3 \leq 10$

สำหรับความรับข้อมูลของปัญหาทดสอบดังกล่าว อธิบายได้ดังภาพ 12



ภาพ 12 แสดงภาพ 3 มิติ สำหรับ 3D function

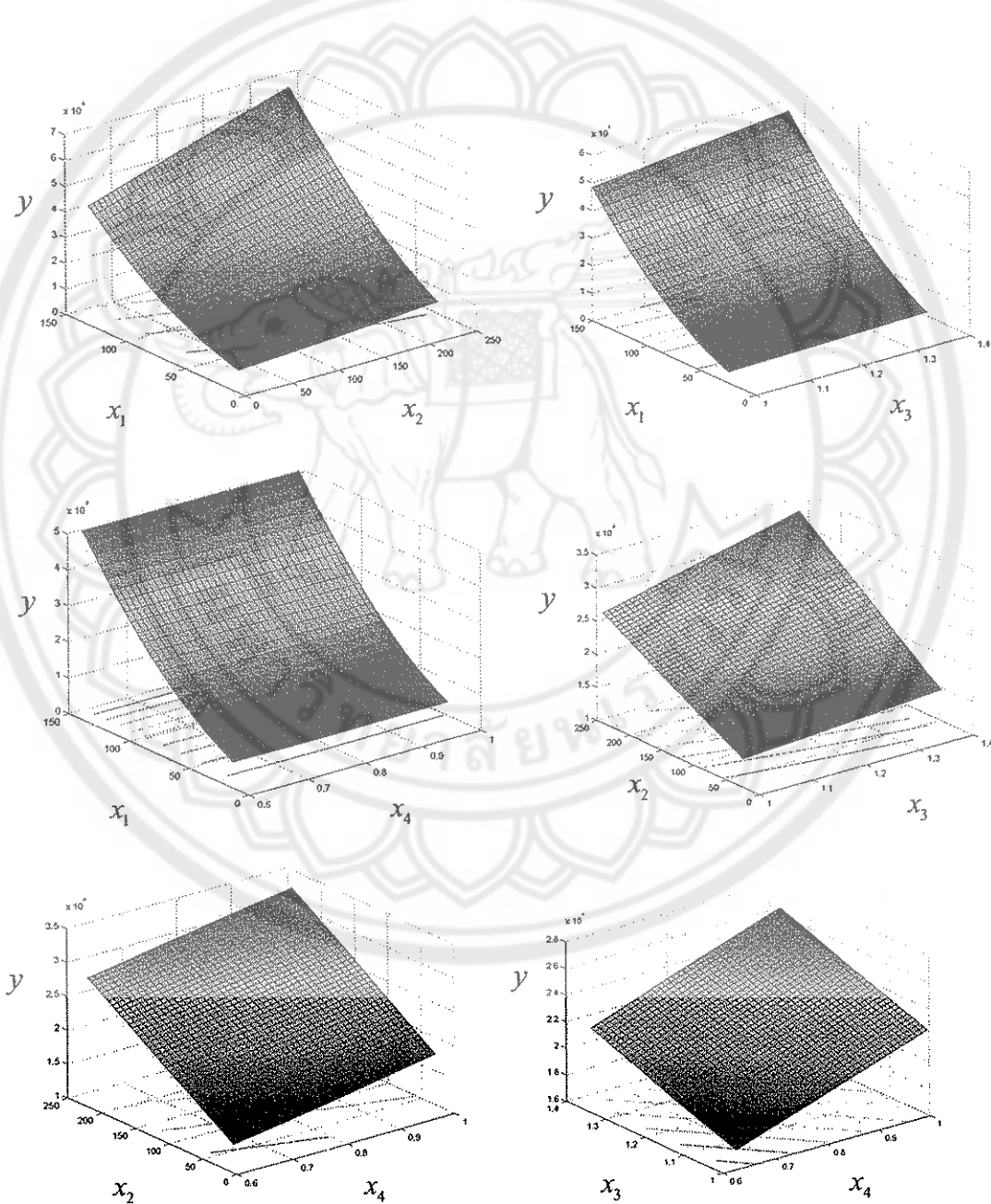
### 2.3 ปัญหาทดสอบ 4 มิติ

ปัญหาทดสอบ 4 มิติ ที่นำมาใช้ในการศึกษาครั้งนี้คือ Pressure vessel function ปัญหาทดสอบดังกล่าวเกิดจากการออกแบบการทดสอบของห้องความดัน ประกอบด้วย ตัวแปรอิสระ 4 ตัวแปร ได้แก่ รัศมีของห้องกระบอก ( $x_1$ ) ความยาวของห้องกระบอก ( $x_2$ ) ความหนาของส่วนที่หุ้มห้องกระบอก ( $x_3$ ) และความหนาของส่วนที่หุ้มห้องกระบอก ในบริเวณปลายห้องที่มีลักษณะเป็นทรงกลม ( $x_4$ ) จุดมุ่งหมายของการออกแบบการทดสอบ ดังกล่าวคือ เพื่อให้ต้นทุนรวมมีค่าต่ำสุด ซึ่งประกอบด้วย ต้นทุนที่ใช้ในการเชื้อมโลหะ ต้นทุน ของวัสดุและต้นทุนในการสร้างรูปแบบ ซึ่งรูปแบบของสมการสำหรับหาต้นทุนรวมกำหนดไว้ในรูปแบบของสมการ ดังนี้

$$f(x_1, x_2, \dots, x_4) = 0.6224x_3x_1x_2 + 1.7781x_4x_1^2 + 3.1661x_3^2x_2 + 19.84x_3^2x_1 \quad (32)$$

โดยที่  $25 \leq x_1 \leq 150, 25 \leq x_2 \leq 240, 1 \leq x_3 \leq 1.375, 0.625 \leq x_4 \leq 1$

สำหรับความซับซ้อนของปัญหาทดสอบดังกล่าว อธิบายได้ดังภาพ 13



ภาพ 13 แสดงภาพ 3 มิติ สำหรับ Pressure vessel function

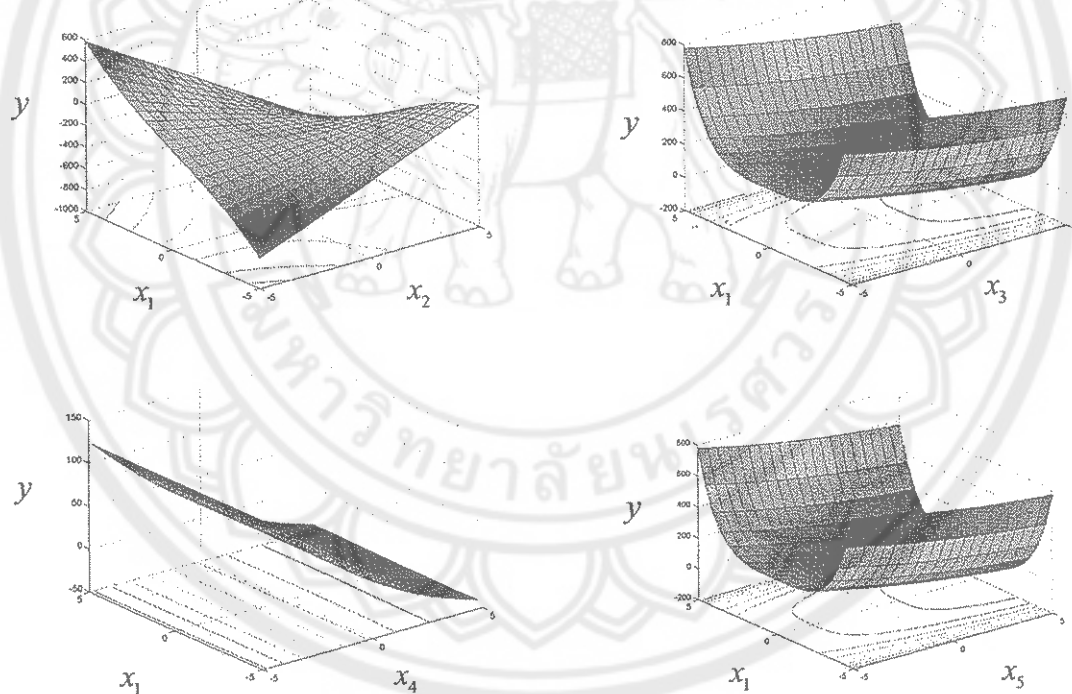
## 2.4 ปัญหาทดสอบ 5 มิติ

ปัญหาทดสอบ 5 มิติ ที่นำมาใช้ในการศึกษาครั้งนี้คือ MS5 function ซึ่งปัญหาทดสอบดังกล่าวมีรูปแบบของสมการ ดังนี้

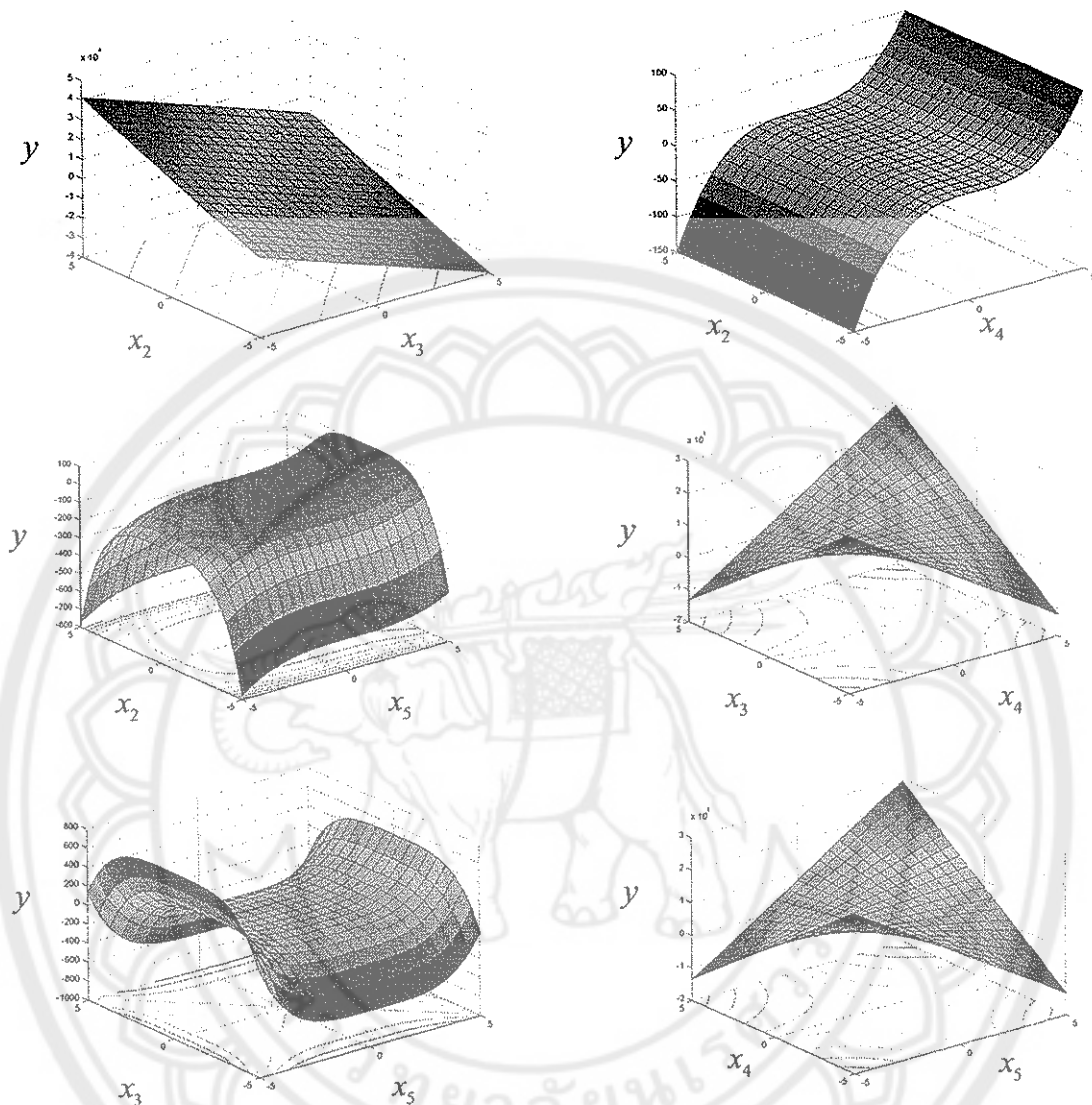
$$f(x_1, x_2, \dots, x_5) = (x_1 - 1)^2 + (x_1 - x_2)^2 + (x_2 - x_3)^3 + (x_3 - x_4)^4 + (x_4 - x_5)^4 \quad (33)$$

โดยที่  $-5 \leq x_1, x_2, \dots, x_4 \leq 5$

สำหรับความขับข้อนของปัญหาทดสอบดังกล่าว อธิบายได้ดังภาพ 14



ภาพ 14 แสดงภาพ 3 มิติ สำหรับ MS5 function



ภาพ 14 (ต่อ)

## 2.5 ปัญหาทดสอบ 6 มิติ

ปัญหาทดสอบ 6 มิติ ที่นำมาใช้ในการศึกษาครั้งนี้คือ 6D function ซึ่งปัญหาทดสอบดังกล่าวเกิดจากการกำหนดให้ตัวแปรอิสระตัวสุดท้าย ( $x_7$ ) ของ Cyclone model ในตาราง 2 คงที่ ดังนั้นปัญหาทดสอบดังกล่าวจึงมีรูปแบบของสมการดังนี้

$$f(x_1, x_2, \dots, x_6) = 174.42 \left( \frac{x_1}{x_5} \right) \left( \frac{x_3}{x_2 - x_1} \right)^{0.85} \sqrt{\frac{1 - 2.62 \left\{ 1 - 0.36 \left( \frac{x_4}{x_2} \right)^{-0.56} \right\}^{3/2} \left( \frac{x_4}{x_2} \right)^{1.16}}{0.75x_6}} \quad (34)$$

โดยที่  $0.09 \leq x_1 \leq 0.11, 0.27 \leq x_2 \leq 0.33, 0.09 \leq x_3 \leq 0.11,$   
 $0.09 \leq x_4 \leq 0.11, 1.35 \leq x_5 \leq 1.65, 14.4 \leq x_6 \leq 17.6$

## 2.6 ปัญหาทดสอบ 7 มิติ

ปัญหาทดสอบ 7 มิติ ที่นำมาใช้ในการศึกษาครั้งนี้คือ Cyclone model ซึ่งเป็นการออกแบบการทดลองของพายุไซโคลน ปัญหาทดสอบดังกล่าวเป็นปัญหาที่ใช้ทางวิศวกรรมเคมีเพื่อแยกมวลสารที่เป็นของแข็งและมวลสารที่เป็นก๊าซออกจากกัน รูปแบบความสัมพันธ์ของสมการมีดังนี้

$$f(x_1, x_2, \dots, x_7) = 174.42 \left( \frac{x_1}{x_5} \right) \left( \frac{x_3}{x_2 - x_1} \right)^{0.85} \sqrt{\frac{1 - 2.62 \left\{ 1 - 0.36 \left( \frac{x_4}{x_2} \right)^{-0.56} \right\}^{3/2} \left( \frac{x_4}{x_2} \right)^{1.16}}{x_6 x_7}} \quad (35)$$

สำหรับรายละเอียดช่วงของตัวแปรอิสระ 7 ตัวแปรใน Cyclone model แสดงดังตาราง 3

ตาราง 3 แสดงรายละเอียดช่วงของตัวแปรอิสระ 7 ตัวแปรใน Cyclone model

ตัวแปรอิสระ	คำอธิบายของตัวแปรอิสระ	ขอบเขตล่าง	ขอบเขตบน
$x_1$	เส้นผ่านศูนย์กลางของพายุไซโคลน ส่วนที่ 1 (เมตร)	0.09	0.11
$x_2$	เส้นผ่านศูนย์กลางของพายุไซโคลน ส่วนที่ 2 (เมตร)	0.27	0.33
$x_3$	เส้นผ่านศูนย์กลางของพายุไซโคลน ส่วนที่ 3 (เมตร)	0.09	0.11
$x_4$	เส้นผ่านศูนย์กลางของพายุไซโคลน ส่วนที่ 4 (เมตร)	0.09	0.11
$x_5$	สัมประสิทธิ์ทางกายภาพ	1.35	1.65
$x_6$	อัตราเร็วของก๊าซ (เมตรต่อวินาที)	14.4	17.6
$x_7$	ความสูงของพายุไซโคลน (เมตร)	0.675	0.825

## 2.7 ปัญหาทดสอบ 8 มิติ

ปัญหาทดสอบ 8 มิติ ที่นำมาใช้ในการศึกษาครั้งนี้คือ Borehole function ซึ่งเป็นการของแบบการทดลองของการไอลของน้ำผ่านท่อที่เจาะลงไปได้ดิน (Borehole) โดยการไอลของน้ำจะไอลจากชั้นหินดอนบนไปยังท่อที่เจาะลงไปได้ดิน และจากท่อที่เจาะลงไปได้ดินไปยังชั้นหินดอนล่าง ซึ่งอัตราการไอลของน้ำผ่านท่อที่เจาะลงไปได้ดินจะถูกกำหนดโดยตัวแปรอิสระ 8 ตัวแปร ดังแสดงในรูปแบบของสมการต่อไปนี้

$$f(x_1, x_2, \dots, x_8) = \frac{2\pi x_3 (x_4 - x_6)}{\ln\left(\frac{x_2}{x_1}\right) \left\{ 1 + \left[ \frac{2x_7 x_3}{\ln\left(\frac{x_2}{x_1}\right) x_1^2 x_8} \right] + \frac{x_3}{x_5} \right\}} \quad (36)$$

สำหรับรายละเอียดช่วงของตัวแปรอิสระ 8 ตัวแปรใน Borehole function แสดงดังตาราง 4

ตาราง 4 แสดงรายละเอียดช่วงของตัวแปรอิสระ 8 ตัวแปรใน Borehole function

ตัวแปรอิสระ	คำอธิบายของตัวแปรอิสระ	ขอบเขตล่าง	ขอบเขตบน
$x_1$	รัศมีของท่อที่เจาะลงไปได้ดิน (เมตร)	0.05	0.15
$x_2$	รัศมีของอินฟลูเอนซ์ (เมตร)	100	50000
$x_3$	การส่งผ่านการไอลของน้ำในชั้นหินดอนบน (ตารางเมตรต่อปี)	63070	115600
$x_4$	ส่วนบนสุดในอุปกรณ์วัดระดับความดันไฟฟ้าของ ชั้นหินดอนบน (เมตร)	990	1110
$x_5$	การส่งผ่านการไอลของน้ำในชั้นหินดอนล่าง (ตารางเมตรต่อปี)	63.1	116
$x_6$	ส่วนบนสุดในอุปกรณ์วัดระดับความดันไฟฟ้าของ ชั้นหินดอนล่าง (เมตร)	700	820

ตาราง 4 (ต่อ)

ตัวแปรอิสระ	คำอธิบายของตัวแปรอิสระ	ขอบเขตล่าง	ขอบเขตบน
$x_7$	ความยาวของท่อที่เจาะลงไปได้ดิน (เมตร)	1120	1680
$x_8$	คุณสมบัติในการลื่อน้ำพลาสติกของชุดเครื่องจักรท่อที่เจาะลงไปได้ดิน (เมตรต่อปี)	9855	12045

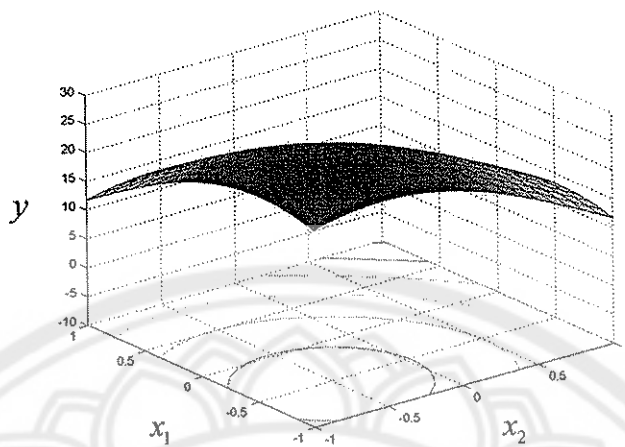
### 2.8 ปัญหาทดสอบ 9 มิติ

ปัญหาทดสอบ 9 มิติ ที่นำมาใช้ในการศึกษาครั้งนี้คือ 9D function ซึ่งปัญหาทดสอบดังกล่าวเกิดจากการกำหนดให้ตัวแปรอิสระตัวสุดท้าย ( $x_{10}$ ) ของ 10D function ในตาราง 2 คงที่ ดังนั้นปัญหาทดสอบดังกล่าวจึงมีรูปแบบของสมการดังนี้

$$f(x_1, x_2, \dots, x_9) = \sum_{j=1}^9 \left[ \frac{3}{10} + \sin\left(\frac{16}{15}x_j - 1\right) + \sin^2\left(\frac{16}{15}x_j - 1\right) \right] + 0.2828521801 \quad (37)$$

โดยที่  $-1 \leq x_1, x_2, \dots, x_9 \leq 1$

สำหรับความซับซ้อนของปัญหาทดสอบดังกล่าว อธิบายได้ดังภาพ 14 ซึ่งภาพดังกล่าวจะแสดงเฉพาะความซับซ้อนของตัวแปรอิสระ ( $x_1, x_2$ ) เท่านั้น เนื่องจากความซับซ้อนที่เกิดจากตัวแปรอื่นๆ จะมีลักษณะความซับซ้อนของปัญหาทดสอบเหมือนกัน



ภาพ 15 แสดงภาพ 3 มิติ สำหรับ 9D function

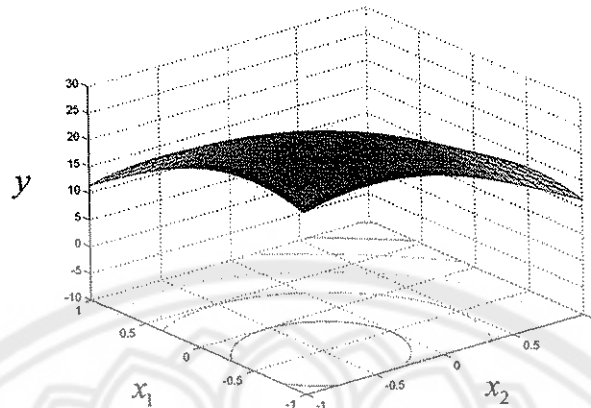
### 2.9 ปัญหาทดสอบ 10 มิติ

ปัญหาทดสอบ 10 มิติ ที่นำมาใช้ในการศึกษาครั้งนี้คือ 10D function ซึ่งปัญหาทดสอบดังกล่าวมีรูปแบบของสมการ ดังนี้

$$f(x_1, x_2, \dots, x_{10}) = \sum_{j=1}^{10} \left[ \frac{3}{10} + \sin\left(\frac{16}{15}x_j - 1\right) + \sin^2\left(\frac{16}{15}x_j - 1\right) \right] \quad (38)$$

โดยที่  $-1 \leq x_1, x_2, \dots, x_{10} \leq 1$

สำหรับความซับซ้อนของปัญหาทดสอบดังกล่าว อธิบายได้ดังภาพ 15 ซึ่งภาพดังกล่าวจะแสดงเฉพาะความซับซ้อนของตัวแปรอิสระ  $(x_1, x_2)$  ส่วนความซับซ้อนระหว่างตัวแปรอิสระคู่อื่น ๆ จะมี ความซับซ้อนของปัญหาทดสอบเหมือนกัน



ภาพ 16 แสดงภาพ 3 มิติ สำหรับ 10D function

จากปัญหาทดสอบที่กล่าวมาข้างต้น เมื่อต้องการพิจารณาความแม่นยำในการพยากรณ์ของตัวแบบทางสถิติที่สร้างจากแผนกราฟทดลองแบบตินัยเบอร์คิวบ์ที่เหมาะสมแบบต่าง ๆ ในขั้นตอนของการสร้างตัวแบบทางสถิติ จะมีขั้นตอนหนึ่งที่จะต้องแปลงค่าของตัวแปรอิสระจาก  $[0,1]^d$  เป็นค่าจริงในแต่ละปัญหาทดสอบ โดยแทนค่าในสูตรต่อไปนี้

$$x(i) = \min + |\max - \min| \times [0,1]^d \quad \text{เมื่อ} \quad i = 1, 2, \dots, d$$

3. สร้างแผนกราฟทดลองแบบ LHD 3 แบบ ได้แก่ RLHD, SLHD และ OALHD ตามลำดับ

4. หาแผนกราฟทดลองแบบ LHD ที่เหมาะสม 3 แบบ โดยใช้ขั้นตอนวิธีการสืบค้นคือ SA ภายใต้เกณฑ์การเลือกค่าเหมาะสมคือ เกณฑ์  $\phi_p$

5. คำนวณหาค่าต่ำสุด ค่าสูงสุด พิสัย ค่าเฉลี่ย ส่วนเบี่ยงเบนมาตรฐานและสัมประสิทธิ์การแปรผันของเกณฑ์การเลือกค่าเหมาะสม 3 เกณฑ์ ได้แก่ เกณฑ์  $\phi_p$ , เกณฑ์แม็กซิมิน และค่าเฉลี่ยของสหสัมพันธ์ระหว่างสัดมูลของแผนกราฟทดลองแบบ LHD ที่เหมาะสมแบบต่าง ๆ

ซึ่งสัมประสิทธิ์การแปรผัน (Coefficient of variation) ให้สำหรับเปรียบเทียบการกระจายของข้อมูลตั้งแต่ 2 กลุ่มใด ๆ ที่ถูกวัดด้วยหน่วยที่แตกต่างกันหรือค่าของข้อมูลต่างกันมาก ๆ ซึ่งการกระจายของข้อมูลดังกล่าวเป็นการกระจายแบบสัมพัทธ์ สัญลักษณ์ที่ใช้คือ  $C.V.$  การคำนวณค่าสัมประสิทธิ์การแปรผันสามารถทำได้ดังนี้

$$C.V. = \frac{S.D.}{Mean} \times 100\% \quad (39)$$

6. สร้างตัวแบบทางสถิติ 2 ตัวแบบคือ RSM และตัวแบบ Kriging ดังนี้

### 6.1 RSM

หากค่าของตัวประมาณโดยวิธีกำลังสองน้อยที่สุดของ  $\beta$  คือ

$$\hat{\beta} = (X^T X)^{-1} X^T y_0$$

แทนค่า  $\hat{\beta}$  ในตัวแบบเพื่อหาค่าพยากรณ์ จะได้ว่า

$$\hat{y} = X \hat{\beta}$$

### 6.2 ตัวแบบ Kriging

หากค่าประมาณโดยวิธีกำลังสองน้อยที่สุดของ  $\beta$  และ  $\sigma^2$  ดังนี้

$$\hat{\beta} = (I^T R^{-1} I)^{-1} I^T R^{-1} y_0$$

และ

$$\hat{\sigma}^2 = \frac{1}{n} (y_0 - I \hat{\beta})^T R^{-1} (y_0 - I \hat{\beta})$$

สร้างตัวพยากรณ์ของ  $y(x)$  คือ  $\hat{y}(x)$  จากสมการ

$$\hat{y}(x) = \hat{\beta} + r^T(x) R^{-1} (y_0 - I \hat{\beta})$$

$$\text{ที่ } r(x) = [R(x, x_1) R(x, x_2) \dots R(x, x_n)]^T$$

8. กำหนดจุดทดสอบจำนวน 81 จุดทดสอบสำหรับปัญหาทดสอบ 2 มิติ โดยสร้างจากจุดตัวชี้วัด (Grid points) และ 500 จุดทดสอบสำหรับปัญหาทดสอบ 3 ถึง 10 มิติ โดยสร้างจากการสุ่มเนื่องจากมิติของปัญหามีขนาดใหญ่ ทำให้การสร้างจุดทดสอบจากจุดตัวชี้วัดทำได้ยาก และคำนวณค่าตัวแปรตามที่เป็นจริงสำหรับแต่ละจุดทดสอบ ( $y(i), i = 1, 2, \dots, k$ )

9. คำนวณหาค่า RMSE และเปรียบเทียบค่า RMSE ของ RSM และตัวแบบ Kriging โดยพิจารณาจากค่าต่ำสุด ค่าสูงสุด พิสัย ค่าเฉลี่ย ส่วนเบี่ยงเบนมาตรฐาน และสัมประสิทธิ์การเปลี่ยนของ RMSE ซึ่ง RMSE เป็นเกณฑ์ที่ใช้วัดความแม่นยำในการพยากรณ์ของตัวแบบทางสถิติ คือ RSM และตัวแบบ Kriging ที่สร้างจากแผนกราฟทดลองแบบ LHD ที่เหมาะสมแบบต่าง ๆ ที่ได้จากขั้นตอนวิธีการสืบค้น SA ซึ่งตัวแบบทางสถิติที่สร้างจากแผนกราฟทดลองแบบ LHD ที่เหมาะสมแบบต่าง ๆ ตัวแบบใดมีค่า RMSE น้อยที่สุด แสดงว่าตัวแบบดังกล่าวเป็นตัวแบบทางสถิติที่มีความแม่นยำในการพยากรณ์สูงที่สุด และ RMSE สามารถคำนวณได้จากสมการต่อไปนี้

$$RMSE = \sqrt{\frac{\sum_{i=1}^k (y_i - \hat{y}_i)^2}{k}} \quad (40)$$

โดยที่  $\hat{y}_i$  คือค่าพยากรณ์ที่ได้จาก RSM และตัวแบบ Kriging สำหรับจุดทดสอบที่  $i$

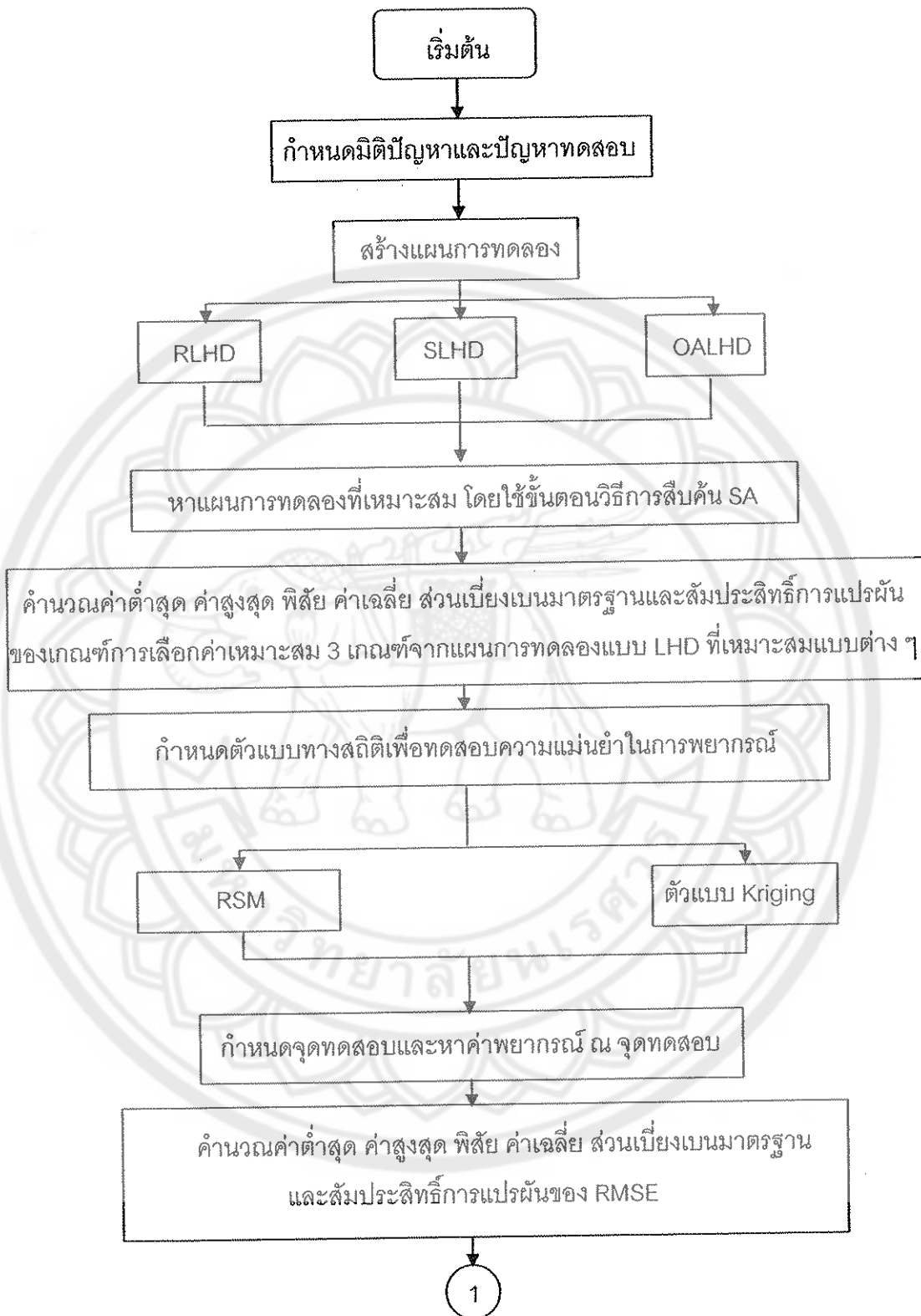
$y_i$  คือผลลัพธ์ที่แท้จริงสำหรับจุดทดสอบที่  $i$

$k$  คือจำนวนของจุดทดสอบ

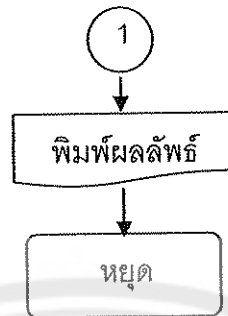
#### 10. สรุปผลการวิจัยในแต่ละมิติปัญหา

##### การวิเคราะห์ข้อมูล

ข้อมูลที่ใช้ในการวิจัยในครั้งนี้ ได้จากการจำลองกราฟทดลองตัวย่อคอมพิวเตอร์โดยใช้โปรแกรม R 2.10.1 ซึ่งขั้นตอนการดำเนินการวิจัยสามารถอธิบายเป็นแผนผังลำดับการทำงานได้ดังต่อไปนี้



ภาพ 17 แสดงแผนผังลำดับการทำงานของการดำเนินการวิจัย



ภาพ 17 (ต่อ)